

## Фазовые состояния магнетика со спином $S = 2$ и изотропным обменным взаимодействием

О. А. Космачев<sup>+</sup>, Ю. А. Фридман<sup>+</sup>, Б. А. Иванов<sup>\*1)</sup>

<sup>+</sup>Крымский федеральный университет им. В.И.Вернадского, 295007 Симферополь, Россия

<sup>\*</sup>Институт магнетизма НАН Украины, 03142 Киев, Украина

Поступила в редакцию 24 января 2017 г.

После переработки 9 марта 2017 г.

Построена фазовая диаграмма магнетика со спином  $S = 2$  при учете всех допустимых спиновых инвариантов для изотропного обменного взаимодействия и произвольном соотношении обменных констант. Найдены новые фазы с двухподрешеточной структурой и двухосной симметрией на узле.

DOI: 10.7868/S0370274X17070074

1. Интерес к изучению новых фазовых состояний спиновых систем магнетиков растет в течение последних трех десятков лет [1–7]. Для изотропных магнетиков со спином  $S > 1/2$  возможна реализация не только фаз с магнитным порядком, т.е. с отличным от нуля средним значением спина на узле  $\langle \mathbf{S} \rangle$ , но также и фаз с  $\langle \mathbf{S} \rangle = 0$ , в которых спонтанное нарушение вращательной симметрии обусловлено средними значениями спиновых мультиполей. Вначале такое состояние, названное спиновым немагнетиком, было найдено для магнетиков со спином  $S = 1$  [1–3]. Геометрическим образом этой фазы является квадрупольный эллипсоид, представляющий тензор  $S_{ij} = \langle S_i S_j + S_j S_i \rangle / 2$ , который в основном состоянии является эллипсоидом вращения, и симметрия состояния на узле есть  $C_\infty$ . Для этой системы найдена также ортогональная немагнетическая фаза с перпендикулярными главными осями квадрупольных эллипсоидов [5]. Для высших спинов  $S > 1$  немагнетические фазы демонстрируют качественно новые свойства. Для спина  $S = 3/2$  найдены фазы с  $\langle \mathbf{S} \rangle = 0$ , для которых симметрия относительно отражения времени нарушена за счет трехспиновых средних (планарного вектора псевдоспина  $\boldsymbol{\sigma}$ ) [3, 6] и антинемагнетической фазы с антипараллельными  $\boldsymbol{\sigma}$  в подрешетках [6]. Исследованы два различных типа немагнетических состояний системы со спином  $S = 2$  [7] и дробные вихри в этих фазах [8].

Немагнетические состояния возникают для моделей, учитывающих все высшие обменные инварианты вида  $(\mathbf{S}_1 \mathbf{S}_2)^n$  с  $n \leq 2S$ . Во многих магнетиках вклад высших обменов мал по сравнению с гейзенбергов-

ским, однако немагнетические фазы спиновых систем с  $S \geq 1$  важны для исследования состояний ультрахолодных газов атомов в оптических ловушках [9], для которых значения высших обменных интегралов не малы [7, 10]. Экспериментально реализованы конденсаты атомов  $^{87}\text{Rb}$  и  $^{23}\text{Na}$  со спином  $S = 2$  [11].

Данная работа посвящена изучению фазовых состояний и их устойчивости для модели изотропного магнетика со спином  $S = 2$  со взаимодействием ближайших соседей при низких температурах и в приближении среднего поля. Найдены новые фазы с двухподрешеточной структурой и построена фазовая диаграмма при произвольном соотношении параметров гамильтониана.

2. Гамильтониан изотропного магнетика со спином  $S = 2$  с учетом полного набора спиновых инвариантов имеет вид

$$\hat{H} = -\frac{1}{2} \sum_{\mathbf{n}, \mathbf{n}'} [J(\mathbf{S}_{\mathbf{n}} \mathbf{S}_{\mathbf{n}'}) + K(\mathbf{S}_{\mathbf{n}} \mathbf{S}_{\mathbf{n}'})^2 + D(\mathbf{S}_{\mathbf{n}} \mathbf{S}_{\mathbf{n}'})^3 + F(\mathbf{S}_{\mathbf{n}} \mathbf{S}_{\mathbf{n}'})^4], \quad (1)$$

где суммирование производится по всем парам ближайших соседей на решетке, допускающей разбиение на две подрешетки с векторами трансляций  $\mathbf{n}$  и  $\mathbf{n}'$ ,  $J$ ,  $K$ ,  $D$  и  $F$  – обменные интегралы.

Вектор состояния системы можно представить в виде прямого произведения векторов состояний оператора спина  $\mathbf{S}_{\mathbf{n}}$  с  $S = 2$  на каждом узле  $\mathbf{n}$ . Вектор состояния на данном узле можно записать в виде суперпозиции пяти векторов  $|m\rangle$  с заданной проекцией спина  $m$  на ось квантования (ось  $z$ ),  $m = \pm 2, \pm 1, 0$ ,  $|\psi\rangle = \sum_m C_m |m\rangle$ , где  $C_m$  принадлежат комплексному проективному пространству  $\mathbb{C}P^4$ . При низких температурах (фактически,  $T \rightarrow 0$ ) в приближении

<sup>1)</sup>e-mail: bor.a.ivanov@gmail.com

молекулярного поля энергия системы совпадает со средним значением гамильтониана по вектору состояния,  $W[C_{m,n}] = \langle \hat{H} \rangle$ .

Для простейших одноподрешеточных фаз состояния спинов на каждом узле одинаковые, и энергия  $W = W(C_m)$  зависит от восьми вещественных параметров. Используя изотропию системы, число независимых параметров можно уменьшить. Будем считать, что среднее значение спина, если оно не нулевое, параллельно оси  $z$ . Тогда  $\langle S_x \rangle = \langle S_y \rangle = 0$  и можно записывать только суперпозиции  $|m\rangle$  со значениями  $m$ , отличающимися не менее чем на 2, и тензор  $S_{ij}$  можно выбрать диагональным. С учетом этих условий можно ограничиться двумя формами пробного вектора состояния на узле,  $|\psi_1\rangle$  или  $|\psi_2\rangle$ :

$$|\psi_1\rangle = \cos \theta |2\rangle + \sin \theta |-1\rangle, \quad (2)$$

$$|\psi_2\rangle = \cos \beta (\cos \varphi |2\rangle + \sin \varphi |-2\rangle) + \sin \beta |0\rangle. \quad (3)$$

Далее легко записать свободную энергию системы при нулевой температуре для каждой из функций  $|\psi_{1,2}\rangle$  через параметры  $\theta$  или  $\varphi, \beta$  соответственно. Вопрос об устойчивости найденных фаз будет рассмотрен далее.

Начнем с вектора  $|\psi_1\rangle$ , для которого энергия (на один спин) определяется выражением

$$W_1 = -\frac{1}{4} (\tilde{J} + 3\tilde{K}) (1 - 3 \cos^2 \theta)^2, \quad (4)$$

где введены обозначения  $\tilde{J} = 2J - K + 41D - 79F$ ,  $\tilde{K} = K - 5D + 43F$ .

Легко видеть, что при  $\tilde{J} + 3\tilde{K} > 0$  минимуму отвечает ферромагнитное (ФМ) состояние, в котором  $\theta = 0$  и  $|\psi\rangle = |\psi_{\text{ФМ}}\rangle = |2\rangle$ , т.е. среднее значение спина на узле максимально,  $\langle S_z \rangle = 2$ . Второе состояние в рамках (2) возникает при  $\tilde{J} + 3\tilde{K} < 0$ , ему отвечает  $\cos \theta = 1/\sqrt{3}$  и вектор состояния

$$|\psi\rangle = |\psi_{\text{ТН}}\rangle = (|2\rangle + \sqrt{2}|-1\rangle)/\sqrt{3}. \quad (5)$$

Такое состояние было найдено в модели Бозе-Газа атомов со спином  $S = 2$  и контактным взаимодействием [7], с использованием представления Майораны (состояние спина  $S$  определяется  $2S$  точками на единичной сфере, см. [12]). Для состояния (5) эти четыре точки совпадают с вершинами тетраэдра [7], и его уместно назвать тетраэдрическим нематиком (ТН), для которого  $\langle \mathbf{S} \rangle = 0$ , а квадрупольный эллипсоид вырожден в сферу,  $\langle S_x^2 \rangle = \langle S_y^2 \rangle = \langle S_z^2 \rangle = 2$ . Спонтанное нарушение симметрии определяется средними, кубическими по компонентам оператора спина, которые не инвариантны относительно инверсии времени  $t \rightarrow -t$ . Для конкретной формы (5)

отличны от нуля только величины  $\langle (S^+)^3 + (S^-)^3 \rangle = 8\sqrt{2}$  и  $\langle S_z^3 \rangle = 2$ . Для наглядного представления их геометрических свойств заметим, что выражение  $\langle (S_x \cos \chi + S_y \sin \chi)^3 \rangle = \sqrt{2} \cos 3\chi$  и инвариантно относительно поворотов вокруг оси  $z$  на угол  $2\pi/3$ . Это указывает на существование оси третьего порядка  $C_3$ , совпадающей с осью  $z$ . Такие же свойства имеют место для трех направлений в пространстве, составляющих с осью  $z$  угол, равный  $2 \arctan \sqrt{2} \simeq 109.5^\circ$ , и с полярными углами  $\pi/3, \pi, 5\pi/3$ . Ось  $z$  и эти три оси ориентированы как оси  $C_3$  тетраэдра с одной из вершин при положительном значении  $z$ .

Для второй пробной функции  $|\psi_2\rangle$  из набора (2), (3) энергия определяется формулой

$$W_2 = \frac{3}{2} \tilde{K} (1 - \sin 2\varphi) \sin^2 2\beta - \tilde{J} \cos^2 2\varphi \cos^4 \beta - 3\tilde{K}. \quad (6)$$

Минимизация (6), помимо ФМ- и ТН-состояний (когда  $\varphi = 0, \beta = 0$  и  $\varphi = -\pi/4, \beta = \pi/4$ ), дает при  $\varphi = \pi/4$  новое спиновое нематическое (СН) состояние с нулевым спином  $\langle \mathbf{S} \rangle = 0$ , для которого

$$|\psi_{\text{СН}}\rangle = \frac{1}{\sqrt{2}} \cos \beta (|2\rangle + |-2\rangle) + \sin \beta |0\rangle, \quad (7)$$

и энергия (6) не зависит от  $\beta$ . Геометрическим образом СН-состояния в спиновом пространстве при  $\beta \neq 0, \pi/2$  является двухосный эллипсоид

$$\langle S_z^2 \rangle = 4 \cos^2 \beta, \quad \langle S_{x,y}^2 \rangle = (\sqrt{3} \sin \beta \pm \cos \beta)^2. \quad (8)$$

Напомним, что квадрупольные эллипсоиды для нематических состояний магнетиков с  $S = 1$  и  $S = 3/2$  чисто одноосные (симметрия  $C_\infty$ ), что в случае (8) имеет место только при  $\beta = 0, \pi/2$ . Полная симметрия  $C_\infty$  присутствует только при  $\beta = \pi/2$ , когда  $\langle S_z^2 \rangle = 0, \langle S_x^2 \rangle = \langle S_y^2 \rangle = 3$  и эллипсоид вырождается в плоский диск. При  $\beta = 0$  квадрупольный эллипсоид также одноосный,  $\langle S_z^2 \rangle = 4, \langle S_x^2 \rangle = \langle S_y^2 \rangle = 1$ , но симметрия состояния понижена за счет средних четвертого порядка,  $2 \langle (S_x \cos \chi + S_y \sin \chi)^4 \rangle = 3 \cos 4\chi + 5$ , т.е. одноузельное состояние при  $\beta = 0$  характеризуется осью симметрии  $C_4$  [7]. В работе [13] показано, что учет тепловых флуктуаций приводит к выбору только одного из двух значений,  $\beta = 0$  или  $\beta = \pi/2$  (далее будет показано, что возможно также состояние с  $\beta = \pi/4$ ).

Состояния магнетика в модели (1) могут включать фазы с различными состояниями спинов в двух подрешетках. Очевидно наличие антиферромагнитного (АФМ) состояния. Унитарное преобразование  $U(\varphi) = \prod_{n'} \exp(i\pi S_{n',x})$ , т.е. поворот спинов второй

подрешетки на угол  $\varphi = \pi$  вокруг оси  $x$ , сводит задачу к исследованию однородного состояния для гамильтониана типа (1). Как и у магнетиков с  $S = 1, 3/2$ , АФМ-состояние характеризуется насыщенными значениями спинов  $|\mathbf{S}_{\mathbf{n},\mathbf{n}'}| = 2$  и антипараллельной ориентацией спинов подрешеток.

Для анализа устойчивости описанных выше фаз относительно произвольных малых возмущений найдем спектр всех ветвей элементарных возбуждений (магнонов)  $\varepsilon_\alpha(\mathbf{k})$ . Для магнетика со спином  $S = 2$  таких ветвей четыре,  $\alpha = 1-4$  определяет номер моды,  $\mathbf{k}$  – волновой вектор, принадлежащий зоне Бриллюэна. Наличие нестабильностей при немалых  $\mathbf{k}$  не только указывает на переходы в многоподрешеточные фазы, но и позволяет понять их подрешеточную структуру. Спектры магнонов были получены методом функций Грина для операторов Хаббарда [14, 15]. Анализ проводится практически так же, как и для магнетика со спином  $S = 3/2$  [16], поэтому детали расчета не обсуждаются. Представление результатов через значения четырех обменных констант оказывается более наглядным, если ввести следующие комбинации переменных  $\lambda_1 = 2J - K + 41D - 70F$ ,  $\lambda_2 = 3(D - 5F)$ ,  $\lambda_3 = K - 2D + 28F$ ,  $\lambda_4 = 9F$ , а также использовать вещественное проективное пространство

$$x = \lambda_1/\lambda_4, \quad y = \lambda_2/\lambda_4, \quad z = \lambda_3/\lambda_4, \quad (9)$$

и рассмотреть его сечения при фиксированном  $z$ .

Вид спектров наиболее простой для ТН-фазы, так как для нее три ветви вырождены и при  $\mathbf{k} \rightarrow 0$  имеют линейный закон дисперсии, что находится в соответствии с общим результатом о числе безактивационных ветвей магнонов [17] при наличии высокой (тетраэдрической) симметрии состояния на узле. Указанным трем ветвям соответствуют развороты осей тетраэдров и связанные с ними колебания среднего спина. Нестабильность, связанная с этими ветвями, определяет переходы в состояния с ненулевым значением спина. Такая неустойчивость имеет место при  $x - 3y + 3z > 1$  или  $x + 3y + 3z < -1$ , относительно возмущений с малыми  $\mathbf{k} \rightarrow 0$  или с  $\mathbf{k} \rightarrow \mathbf{k}_B$  соответственно, где  $\mathbf{k}_B$  отвечает краю зоны Бриллюэна. Четвертая ветвь (активационная) определяется колебаниями мультипольных моментов при  $\langle \mathbf{S}(t) \rangle = 0$ . При выполнении условий  $y < z$  или  $y < -z$  для возмущений с  $\mathbf{k} \rightarrow 0$  или с  $\mathbf{k} \rightarrow \mathbf{k}_B$  она описывает нестабильность относительно перехода в другие нематрические состояния.

В ФМ-фазе одна из четырех ветвей возбуждения является бесцелевой и соответствует прецессии спина. Устойчивость ФМ-фазы определяют активационные ветви, ФМ-фаза теряет устойчивость отно-

сительно длинноволновых возмущений ( $\mathbf{k} \rightarrow 0$ ) при  $x - 3y + 3z < 1$  и при  $x < 1$ . Таким образом, области устойчивости ТН- и ФМ-фаз могут соприкасаться при  $x - 3y + 3z = 1$  и  $x = 1$ . При  $x + 3y + 9z < 1$  имеет место неустойчивость относительно возмущений с  $\mathbf{k} \rightarrow \mathbf{k}_B$ , что указывает на переход в двухподрешеточную фазу.

Для АФМ-фазы состояния спинов в различных подрешетках энергетически эквивалентны, и магнотны естественно рассматривать в схеме расширенных зон. Для всех четырех ветвей спектра энергии имеют форму  $\varepsilon_\alpha^2(\mathbf{k}) = A_\alpha^2 - B_\alpha^2 C^2(\mathbf{k})$ , где  $ZC(\mathbf{k}) = \sum_{\mathbf{b}} \exp(i\mathbf{b} \cdot \mathbf{k})$ ,  $\mathbf{b}$  – набор  $Z$ -векторов ближайших соседей,  $C(\mathbf{k}) \rightarrow 1$  при  $\mathbf{k} \rightarrow 0$  и  $C(\mathbf{k}) \rightarrow -1$  при  $\mathbf{k} \rightarrow \mathbf{k}_B$ . Одна из этих ветвей является голдстоуновской, для нее  $A_G = B_G = 2(5K + 179F - J - 34D)$  и  $\varepsilon_G \rightarrow c|\mathbf{k}|$  при  $\mathbf{k} \rightarrow 0$ . Величина  $c \propto A_G$ , что свидетельствует о неустойчивости АФМ-фазы при  $x + 3y - 9z > -1$ . Анализ показал также наличие нестабильностей АФМ-фазы при  $x - 3y - 3z > -1$  и  $x > -1$ .

Таким образом, картина переходов сложнее, чем для магнетика со спином  $S = 3/2$ , где области стабильности фаз определялись знаками только двух комбинаций параметров,  $\Lambda_1$  и  $\Lambda_2$ , см. [6]. Сложность анализа усугубляется еще и тем, что вид спектров магнонов фазы СН зависит от параметра  $\beta$  (см. далее). Однако картина фазовых состояний выглядит наиболее просто для  $z = 0$  и полезно начать с анализа этого случая.

При  $z = 0$  нематрическая фаза не реализуется (точнее, условия ее устойчивости при любом  $\beta$  выполняются только на отрезке линии  $z = 0$ ,  $y = 0$ ,  $-1 < x < 1$ ). Как ферромагнитная, так и антиферромагнитная фазы теряют устойчивость на линиях  $x \pm 3y = 1$  и  $x \pm 3y = -1$ , а ТН-фаза устойчива при  $3y + x + 1 > 0$ ,  $3y - x + 1 > 0$  и  $y > 0$  (рис. 1). Области устойчивости этих трех фаз на плоскости  $x, y$  ограничены снизу линиями, на которых присутствует нестабильность относительно возмущений с  $\mathbf{k} \rightarrow \mathbf{k}_B$ , т.е. в остальной части плоскости должна реализоваться некоторая двухподрешеточная фаза. Анализ показал, что эта двухподрешеточная фаза имеет тетраэдрическую симметрию ( $\langle \mathbf{S} \rangle = 0$  и  $S_{ij} = 2\delta_{ij}$  в каждом узле, и состояния  $|\psi_{\mathbf{n}}\rangle$  и  $|\psi_{\mathbf{n}'}\rangle$  в каждой из подрешеток имеют вид ортогональных векторов

$$\sqrt{3}|\psi_{\mathbf{n}}\rangle = |2\rangle + \sqrt{2}|-1\rangle, \quad \sqrt{3}|\psi_{\mathbf{n}'}\rangle = |-2\rangle - \sqrt{2}|1\rangle. \quad (10)$$

Нетривиальные средние компонент спинов для первой и второй подрешеток отличаются знаками,  $\langle (S_1^z)^3 \rangle = 2$  и  $\langle (S_2^z)^3 \rangle = -2$ ,

$$\langle (S_{1,2}^x \cos \chi + S_{1,2}^y \sin \chi)^3 \rangle = \pm \sqrt{2} \cos 3\chi,$$

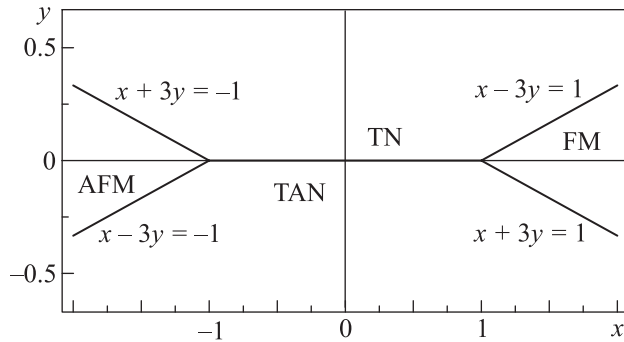


Рис. 1. Области существования различных фаз на плоскости  $z = 0$  в пространстве параметров задачи (9). Здесь и на рис. 2: FM – ферромагнитная фаза, AFM – антиферромагнитная фаза, TN – тетраэдрический нематик, TAN – тетраэдрический антинематик

и это состояние естественно назвать тетраэдрической антинематической (ТАН) фазой. Для нее геометрическими образами состояний в каждой из подрешеток являются тетраэдры с противоположными направлениями вершин, которые повернуты друг относительно друга вокруг оси  $z$  на угол  $\pi/3$ .

В ТАН-фазе, как и в ТН-фазе, присутствуют три вырожденные безактивационные ветви магнонов, а четвертая ветвь имеет конечную активацию. Условия устойчивости ТАН-фазы включают неравенства  $x + 3y - 3z < 1$  и  $x - 3y - 3z > -1$ . Кроме того, неустойчивости относительно возмущений с  $\mathbf{k} \rightarrow 0$  или с  $\mathbf{k} \rightarrow \mathbf{k}_B$  имеют место при выполнении условий  $y < z$  или  $y > -z$  соответственно. Отметим, что последние два условия противоположны условиям для ТН-фазы, и при  $z = 0$  области стабильности ТН- и ТАН-фаз соприкасаются на отрезке линии  $y = 0$ ,  $-1 < x < 1$ . Таким образом, четыре описанные выше фазы полностью определяют все состояния системы при  $z = 0$ . Переходы между фазами, как для случаев  $S = 1, 3/2$ , проходят как вырожденные фазовые переходы первого рода.

Если  $z \neq 0$ , поведение системы существенно различается для случаев  $z > 0$  и  $z < 0$ . Рассмотрим поведение фазы спинового нематика, энергия которой не зависит от параметра  $\beta$ , вблизи линий фазовых переходов. При  $y = z$  или  $y = -z$  это переходы СН-фазы в ТН- или ТАН-фазу соответственно, а при  $x = 1$  или  $x = -1$  СН-фаза переходит соответственно в ФМ- или АФМ-фазу. В отличие от энергии, характер магнонных спектров существенно зависит от  $\beta$ . В частности, в СН с симметрией  $C_\infty$  ( $\beta = \pi/2$ ) есть попарно вырожденные моды: две активационные и две с нулевой щелью и линейным законом дисперсии. Для значений  $\beta \neq \pi/2$ , 0 имеются три моды с линейным законом дисперсии и различными скоро-

стями, но скорости двух из них совпадают при  $\beta = 0$ , когда система имеет более высокую симметрию  $C_4$ .

В СН-фазе на линиях переходов размягчаются моды с некоторым заданным значением  $\beta$ , а именно,  $\beta = \pi/2$  вблизи линий переходов в ФМ- или АФМ-фазу и  $\beta = 0$  вблизи линий переходов в ТН- или ТАН-фазу. Следует ожидать, что в СН-фазе реализуются именно такие значения  $\beta$ . Это соответствует результату работы [13], согласно которому фиксированное значение  $\beta$  определяется тепловыми поправками к свободной энергии СН-фазы (так называемый механизм образования порядка из беспорядка, order by disorder). Соответствие результатов понятно: именно мягкая мода дает более существенный вклад в свободную энергию. Линии перехода между СН-фазами с  $\beta = \pi/2$  и  $\beta = 0$  определяются условиями  $x \pm 1 = \pm 9z(y - z)$ ,  $x \pm 1 = \pm 9z(y + z)$  (рис. 2).

Таким образом, СН-фаза существует только при  $z > 0$  внутри прямоугольника  $-z < y < z$  и  $|x| < 1$ . На всех этих линиях, а также на линиях переходов ФМ  $\rightleftharpoons$  ТН и АФМ  $\rightleftharpoons$  ТАН имеют место вырожденные переходы первого рода. Однако при  $z > 0$  имеется конечная область сосуществования фаз с различной подрешеточной структурой (см. рис. 2). Энергии этих фаз сравниваются на линиях переходов первого рода  $x + 3y - 3z = -1$  и  $x + 3y + 3z = 1$  соответственно; эти линии и линии устойчивости сосуществующих фаз сходятся в точках  $x = -1$ ,  $y = z$  или  $x = 1$ ,  $y = -z$ .

При  $z < 0$  нематическая фаза вида (7) не существует и можно ожидать появления двухподрешеточной ортогональной нематической (ОН) фазы [5]. Структура ОН-фазы определяется состояниями вида (3) со значениями  $\varphi_{1,2}, \beta_{1,2}$  в подрешетках. Анализ показал, что параметры  $\varphi$  в подрешетках совпадают, а значения  $\beta_1$  и  $\beta_2$  отличаются на  $\pi/2$ . Учет тепловых поправок выделяет значения  $\beta = \pi/4$  и  $\beta = -\pi/4$ . При этом квадрупольные эллипсоиды являются двухосными с главными осями  $\mathbf{e}_1, \mathbf{e}_2, \mathbf{e}_3$  и значениями  $\langle S_1^2 \rangle = 2 + \sqrt{3}$ ,  $\langle S_2^2 \rangle = 2$ ,  $\langle S_3^2 \rangle = 2 - \sqrt{3}$ . Для различных подрешеток “промежуточные” оси  $\mathbf{e}_2$  коллинеарны, а оси с максимальными и минимальными значениями  $\langle S_i^2 \rangle$  взаимно перпендикулярны. Спектр магнонов в этой фазе имеет четыре моды, три из которых безактивационные. Как следует из анализа спектров элементарных возбуждений, область существования ОН-фазы определяется неравенствами  $z < y < -z$  и  $3y + 3z - 1 < x < 3y - 3z + 1$ . При этом на плоскости  $xy$  остаются две области (обозначенные LS на рис. 2b), внутри которых существуют двухподрешеточные фазы с симметрией ниже, чем для граничащих с ними фаз (АФМ и ТН или ФМ и

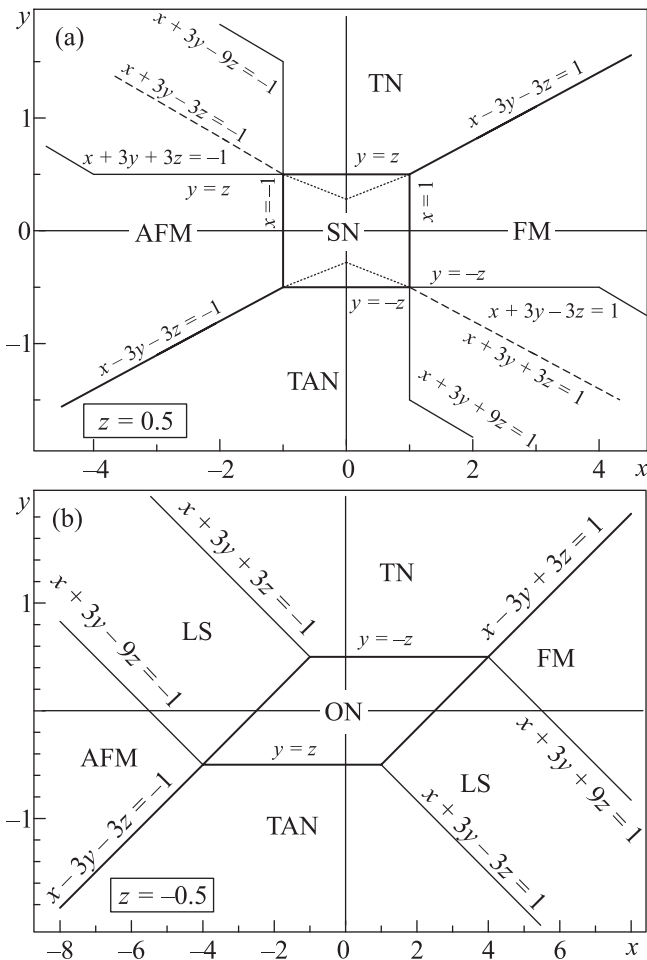


Рис. 2. Области существования различных фаз на плоскости  $z = \text{const} \neq 0$  в пространстве переменных  $x, y, z$  при  $z > 0$  (a) и  $z < 0$  (b). Выбраны значения  $z = \pm 0.5$ . Обозначения как на рис. 1, также SN – спиновый нематик, ON – ортогональный нематик. Стандартные фазовые переходы первого рода отмечены штриховыми линиями, а линии потери устойчивости фаз – тонкими сплошными. В (b) LS обозначает фазы с наиболее низкой симметрией. Линии из точек показывают границы СН-фаз с  $\beta = 0$  и  $\beta = \pi/2$

АТН для левой или правой LS-области соответственно). Для LS-фаз не равны нулю как значения (ненасыщенные) спинов подрешеток, так и корреляторы вида  $\langle (S_x \cos \chi + S_y \sin \chi)^3 \rangle = C \cos 3\chi$ ,  $|C| < \sqrt{2}$ ; из четырех осей  $C_3$ , характерных для ТН- и АТН-фаз, “выживает” только одна, параллельная оси  $z$ .

**3.** В результате нами проведен полный анализ фаз магнетика со спином  $S = 2$  и общим видом изотропного взаимодействия (1). Впервые обнаружен случай появления невырожденных фазовых переходов (ФП) между фазами: в зависимости от знака параметра  $z$  имеет место или ФП первого рода с конечной областью сосуществования фаз или два ФП вто-

рого рода через фазу с низкой симметрией. В отличие от систем с  $S = 1, 3/2$  с симметрией на узле  $C_\infty$ , для  $S = 2$  найдены фазы, для которых симметрия на узле дискретная – это ортогональная нематическая фаза с двухосной симметрией, а также ТН- и АТН-фазы с тетраэдрической симметрией на узле. Нетривиальные свойства параметра порядка этих фаз приводят к появлению трех голдстоуновских ветвей элементарных возбуждений [17] и особенностям топологических дефектов. Для найденных фаз гомотопическая группа  $\pi_1$  некоммутативна, и существуют неабелевы топологические дефекты, известные для стандартных двухосных нематиков [18–20]. Возможность экспериментального возбуждения нетривиальных топологических дефектов (дробных вихрей) для систем с  $S = 2$  обсуждалась в [8].

Авторы признательны Г.Е. Воловику за полезные обсуждения топологических свойств найденных фаз. Работа частично поддержана проектами РФФИ # 16-02-00069 (ЮАФ и ОАК) и # 16-42-910441 (ОАК).

1. А. Ф. Андреев, И. А. Гришук, ЖЭТФ **87**, 467 (1984).
2. N. Papanikolaou, Nucl. Phys. B **305**, 367 (1988).
3. A. V. Chubukov, J. Phys.: Condens. Matter **2**, 1593 (1990).
4. В. И. Бутрим, Б. А. Иванов, А. С. Кузнецов, Письма в ЖЭТФ **92**, 172 (2010).
5. Yu. A. Fridman, O. A. Kosmachev, and Ph. N. Klevets, J. Magn. Magn. Mat. **325**, 125 (2013).
6. Yu. A. Fridman, O. A. Kosmachev, A. K. Kolezhuk, and B. A. Ivanov, Phys. Rev. Lett. **106**, 097202 (2011).
7. R. Barnett, A. M. Turner, and E. Demler, Phys. Rev. Lett. **97**, 180412 (2006).
8. J. A. M. Huhtamäki, T. P. Simula, M. Kobayashi, and K. Machida, Phys. Rev. A **80**, 051601(R) (2009).
9. O. Morsch and M. Oberthaler, Rev. Mod. Phys. **78**, 179 (2006).
10. F. Zhou and M. Snoek, Ann. Phys. (N.Y.) **308**, 692 (2003).
11. H. Schmaljohann, M. Erhard, J. Kronjäger, M. Kottke, S. van Staa, L. Cacciapuoti, J. J. Arlt, K. Bongs, and K. Sengstock, Phys. Rev. Lett. **92**, 040402 (2004).
12. H. Bacry, J. Math. Phys. (N.Y.) **15**, 1686 (1974).
13. A. M. Turner, R. Barnett, E. Demler, and A. Vishwanath, Phys. Rev. Lett. **98**, 190404 (2007).
14. Р. О. Зайцев, ЖЭТФ **68**, 207 (1975).
15. Yu. A. Fridman, O. A. Kosmachev, and Ph. N. Klevets, J. Magn. Magn. Mat. **320**, 435 (2008).
16. О. А. Космачев, Ю. А. Фридман, Е. Г. Галкина, Б. А. Иванов, ЖЭТФ **147**, 320 (2015).
17. А. Ф. Андреев, В. И. Марченко, УФН **130**, 39 (1980).
18. Г. Е. Воловик, В. П. Минеев, ЖЭТФ **72**, 2256 (1977).
19. V. Roenaru and G. Toulouse, J. Phys. (Paris) **8**, 887 (1977).
20. N. D. Mermin, Rev. Mod. Phys. **51**, 591 (1979).